

И. И. ТРЕТЬЯКОВ, В. И. КОРЧАК, Б. Р. ШУБ

## КИНЕТИКА И МЕХАНИЗМ ВОССТАНОВЛЕНИЯ НО ВОДОРОДОМ НА ПЛАТИНЕ

(Представлено академиком В. И. Кондратьевым 23 II 1971)

Кинетика и механизм взаимодействия окиси азота с водородом на платине и других катализаторах до настоящего времени практически не изучены, что, по-видимому, объясняется сложностью этого процесса, связанной с возможностью протекания его одновременно по нескольким направлениям с образованием различных продуктов (1-4).

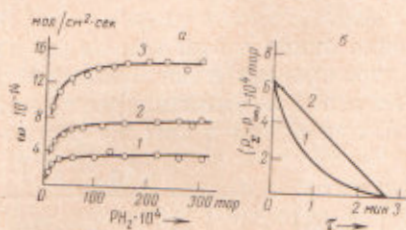


Рис. 1. *a* — зависимость скорости образования  $\text{NH}_3$  от  $P_{\text{NO}}$  при  $P_{\text{H}_2} = \text{const}$  ( $5 \cdot 10^{-5}$  тор) и  $t = 150^\circ$  (1),  $175^\circ$  (2) и  $200^\circ$  (3). *б* — зависимость  $(P_z - P_\infty)$  (1) и  $\lg(P_z - P_\infty)$  (2) от  $t$  при  $P_{\text{H}_2}/P_{\text{NO}} = 100$  и  $300^\circ$  С

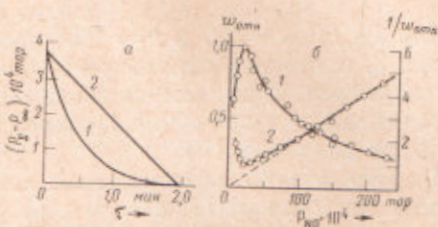
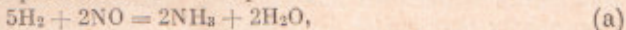


Рис. 2. *a* — кинетическая кривая реакции при  $P_{\text{NO}}/P_{\text{H}_2} = 80$  и  $t = 220^\circ$  С (1) и ее спрямление в координатах  $\lg(P_z - P_\infty) - t$  (2). *б* — зависимость скорости реакции от  $P_{\text{NO}}$  при  $P_{\text{H}_2} = \text{const}$  ( $5 \cdot 10^{-5}$  тор) и  $t = 220^\circ$  С (1); 2 — аноморфоза кривой 1 в координатах  $1/\omega - P_{\text{NO}}$

В настоящей работе предпринята попытка изучить механизм данной реакции в предельно чистых условиях. Предварительные опыты показали, что восстановление  $\text{NO}$  водородом на платине, очищенной в сверхвысоком вакууме, идет по двум направлениям — с образованием аммиака и азота.



При этом преобладание того или иного направления зависит сложным образом как от температуры катализатора, так и от соотношения давлений  $\text{NO}$  и  $\text{H}_2$  в реакционной смеси.

Путем вариации температуры катализатора и соотношения давлений  $\text{NO}$  и  $\text{H}_2$  в исходной смеси удалось разделить оба направления процесса и изучить кинетические закономерности каждого из них в отдельности.

Опыты проводились в статической вакуумной установке, позволяющей получать вакуум  $2 \cdot 10^{-10}$  тор (5). В качестве катализатора использовали нити из спектрально чистой платины диаметром 20 мкм и длиной 10 см, которые подвешивали в реакторе объемом 1000 см<sup>3</sup>. Водород очищали диффузией через палладий, а  $\text{NO}$  — низкотемпературной перегонкой (6). За протеканием реакции следили по манометру Пирани и омегатронному масс-спектрометру. Реакция изучалась в диапазоне давлений  $5 \cdot 10^{-5}$  —  $10^{-1}$  тор и температур  $100 \div 300^\circ$  С.

**Результаты и их обсуждение.** Анализ продуктов реакции показал, что в избытках водорода при температурах катализатора  $100 \div 300^\circ$  восстановление  $\text{NO}$  идет в основном с образованием аммиака.

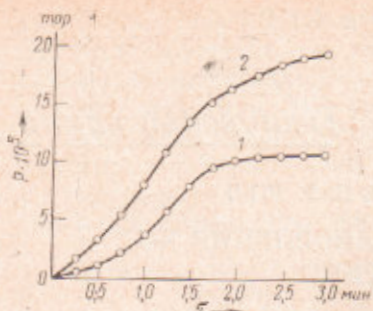


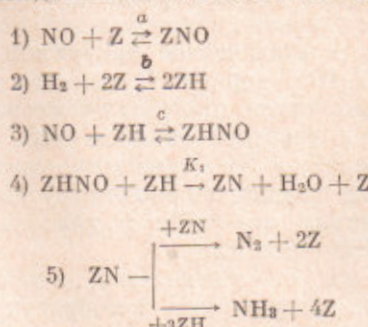
Рис. 3. Кинетика образования  $N_2$  (1) и  $NH_3$  (2) при  $P_{H_2}/P_{NO} = 2,5$  и  $t = 150^\circ C$

изменением давлений NO максимум и в больших избытках NO. Процесс в данном случае описывается уравнением

$$w_{N_2} = k_{\text{эфф}} P_{H_2} / P_{NO}. \quad (2)$$

При  $P_{H_2}/P_{NO} = 2,5$  и  $t = 150^\circ C$  восстановление окиси азота, как видно из рис. 3, протекает одновременно по двум направлениям и сопровождается ускорением. При этом скорости образования азота и аммиака достигают максимальных значений одновременно, т. е. при одном и том же соотношении давлений NO и  $H_2$ . Это можно объяснить тем, что оба направления процесса, по-видимому, имеют общую лимитирующую стадию. В противном случае трудно было бы ожидать точного совпадения условий максимума скоростей реакций образования азота и аммиака. Следует отметить, что наблюдаемое ускорение обоих направлений реакции, как видно из табл. 1, не сопровождается заметным изменением селективности процесса вплоть до максимальных скоростей. Это говорит о том, что ускорение не вызвано изменением селективности и имеет в основном кинетический характер, что также говорит в пользу общей лимитирующей стадии для обоих направлений процесса.

Для описания полученных экспериментальных данных был рассмотрен ряд возможных механизмов и был найден стадийный механизм, наиболее полно отражающий наблюдавшиеся кинетические закономерности:



Как видно из рис. 1, с увеличением избытков водорода скорость образования аммиака перестает зависеть от давления водорода. При этом наблюдается I порядок по NO. Процесс в этом случае описывается уравнением

$$w_{NH_3} = k_{\text{эфф}} P_{NO}. \quad (1)$$

При проведении реакции в избытках NO при температурах катализатора выше  $200^\circ$  основным продуктом является азот, т. е. процесс протекает по направлению (б). Как показывает рис. 2а, в больших избытках NO наблюдается I порядок по водороду. Из рис. 2б видно, что при постоянном давлении водорода с скоростью образования азота проходит через избытки NO она обратно пропорциональна

Таблица 1

t, сек.	$P_{H_2}$	$P_{NO}$	$w_{N_2}$	$w_{N_2}$	$w_{NH_3}/w_{N_2} + 2 w_{N_2}$
0	103,0	40,0	4,2	1,7	0,55
15	98,0	37,5	5,4	2,2	0,52
30	92,5	34,5	6,7	3,2	0,51
45	85,0	30,0	8,0	4,0	0,50
60	76,0	25,0	9,15	5,0	0,48
75	65,0	18,0	11,2	6,9	0,45
90	55,0	12,0	8,3	5,0	0,45
120	43,0	5,0	4,0	1,7	0,54

Примечание.  $t = 150^\circ C$ ;  $P \cdot 10^4$  тор;  $w \cdot 10^{-14}$  молек/сек-см<sup>2</sup>.

где  $Z$  — активный центр катализатора,  $a$ ,  $b$  и  $c$  — константы равновесия. 1 и 2 стадии этого механизма представляют собой равновесную адсорбцию NO и водорода. Для водорода предполагается диссоциативная адсорбция. В стадии 3 образуется активный промежуточный продукт HNO, существование которого было установлено при изучении взаимодействия NO с атомами водорода в газовой фазе (<sup>7</sup>) и при исследовании фотолиза смесей NO с водородом (<sup>8</sup>). Эта стадия также принимается равновесной. В стадии 4 происходит образование адсорбированных атомов азота, претерпевающих в дальнейшем в стадии 5 превращение до  $N_2$  или  $NH_3$ . Поскольку рекомбинация атомов азота или их взаимодействие с атомами водорода являются, по всей вероятности, быстрыми стадиями, в качестве лимитирующей пами была принята стадия 4. Таким образом, разветвление процесса происходит после лимитирующей стадии и определяется, по-видимому, соотношением скоростей реакций рекомбинации атомов азота и их взаимодействия с атомами водорода.

Анализ предложенного стадийного механизма процесса приводит к уравнению для суммарной скорости реакции

$$w_{\Sigma} = K_1 cb P_{H_2} P_{NO} / (1 + b^{1/2} P_{H_2}^{1/2} + c b^{1/2} P_{H_2}^{1/2} P_{NO} + a P_{NO})^2, \quad (3)$$

где  $w_{\Sigma} = w_{NH_3} + 2w_{N_2}$ .

Рассмотрим предельные случаи, которые следуют из уравнения (3).

В больших избытках водорода в знаменателе уравнения (3) можно пренебречь всеми членами по сравнению с  $b^{1/2} P_{H_2}^{1/2}$ , так как в этом случае поверхность катализатора будет покрыта преимущественно водородом и поверхностные концентрации NO, HNO и свободных центров будут малы. Тогда получаем выражение для скорости

$$w = K_1 c P_{NO}, \quad (4)$$

совпадающее по форме с уравнением (1) и согласующееся с экспериментом (рис. 1).

При  $P_{H_2} = \text{const}$  уравнение (3) можно записать в следующем виде

$$w = K_1 c b P_{H_2} P_{NO} / (K^* + K^{**} P_{NO})^2, \quad (5)$$

где  $K^* = 1 + b^{1/2} P_{H_2}^{1/2}$  и  $K^{**} = a + c b^{1/2} P_{H_2}^{1/2}$ . Из уравнения (5) следует, что с изменением давлений NO (при  $P_{H_2} = \text{const}$ ) скорость процесса достигает максимума при  $K^* = K^{**} P_{NO}$ , и при больших давлениях NO, когда  $P_{NO} K^{**} \gg K^*$  она равна

$$w = K_1 c b P_{H_2} / (K^{**})^2 P_{NO}, \quad (6)$$

т. е. в больших избытках NO скорость реакции обратно пропорциональна  $P_{NO}$ , и по водороду должен наблюдаться I порядок, что согласуется с экспериментом (рис. 2).

При проведении реакции при низких температурах и небольших избытках того или иного компонента скорость процесса резко снижается, что, согласно предполагаемому механизму реакции (если принять при этих температурах  $a P_{NO} > b^{1/2} P_{H_2}^{1/2}$ ), можно объяснить преимущественной адсорбцией окиси азота, которая блокирует активные центры катализатора, вытесняя водород. В этом случае уравнение (3) дает третий предельный случай при  $\theta_{NO} \rightarrow 1$ :

$$w = (K_1 c b / a^2) (P_{H_2} / P_{NO}), \quad (7)$$

из которого следует, что протекание процесса при низких температурах в небольших избытках водорода должно сопровождаться ускорением, так как соотношение  $P_{H_2} / P_{NO}$  по мере расходования смеси будет возрастать. Ускорение процесса действительно имеет место при  $P_{H_2} / P_{NO} = 4$  и  $t = 400^\circ$  (рис. 4a). Из уравнения (7) следует, что в стехиометрической смеси процесс должен протекать по нулевому порядку. Опыт показал,

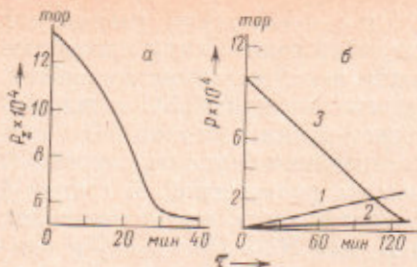
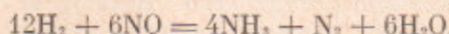


Рис. 4. Кинетические кривые при  $t = 100^\circ\text{C}$ . а —  $P_{\text{H}_2}/P_{\text{NO}} = 4$ , б —  $P_{\text{H}_2}/P_{\text{NO}} = 2$ ; 1 —  $P_{\text{NH}_3}$ , 2 —  $P_{\text{N}_2}$ , 3 —  $P_{\text{T}}$

что соответствует суммарному уравнению процесса



В этом случае соотношение  $P_{\text{H}_2}/P_{\text{NO}} = 2$  является стехиометрическим и поэтому не нарушается в ходе опыта.

Таким образом, уравнение (3) хорошо описывает все кинетические закономерности реакции восстановления NO водородом, наблюдавшиеся на опыте, что говорит в пользу предложенного стадийного механизма.

Для определения адсорбционных коэффициентов NO и  $\text{H}_2$  проведены опыты в избытках NO при малых давлениях  $\text{H}_2$  и повышенных температурах. В этих условиях  $\theta_{\text{H}_2}, \theta_{\text{NO}} \rightarrow 0$  и уравнение (3) принимает вид:

$$w = K_1 c b P_{\text{H}_2} P_{\text{NO}} / (1 + a P_{\text{NO}})^2. \quad (8)$$

При помощи уравнения (8) из экспериментальных данных для различных температур было рассчитано значение  $a = 2.5 \cdot 10^{-6} \exp(20000 \pm 1000 / RT)$  тор $^{-1}$ . Адсорбционный коэффициент водорода  $b$  определялся из отношения между  $K_1 c b$  и  $K_1 c$ . Первая из этих величин находилась по (8), а вторая по (4) из данных, приведенных на рис. 1. Было найдено

$$b = 10^{-8} \cdot \exp(25000 \pm 100 / RT) \text{ тор}^{-1}.$$

Значения предэкспоненциальных множителей адсорбционных коэффициентов находятся в хорошем согласии с величинами, рассчитанными по теории абсолютных скоростей, что говорит в пользу предложенного механизма реакции.

В заключение следует подчеркнуть, что предложенное кинетическое уравнение описывает лишь суммарную кинетику процесса и не отражает зависимость его селективности от соотношения давлений компонентов и от температуры катализатора. Для описания механизма селективного действия катализатора необходимы дальнейшие детальные исследования в области одновременного протекания обоих направлений реакции.

Институт химической физики  
Академии наук СССР  
Москва

Поступило  
16 II 1971

#### ЦИТИРОВАННАЯ ЛИТЕРАТУРА

- <sup>1</sup> R. I. Kokes, J. Phys. Chem., 70, 296, (1966). <sup>2</sup> H. Slaugh Lynn, Inorg. Chem., 3, 920 (1964). <sup>3</sup> L. Duparc, P. Wegener, Helv. chim. acta, II, 337 (1928).
- <sup>4</sup> R. I. Ayen, M. S. Peters, Industr. Engn. Process Design and Develop., 1, 204, (1962). <sup>5</sup> И. И. Третьяков, А. В. Склияров, Б. Р. Шуб, Кинетика и катализ, 11, 166 (1970). <sup>6</sup> Г. Гнаук, Г. Мюллер, Газы высокой чистоты, М., 1968.
- <sup>7</sup> P. Hartreick, Beg., 66, 423 (1933). <sup>8</sup> F. C. Kohout, F. W. Lampe, J. Am. Chem. Soc., 87, 5795 (1965).